

# مدل سازی سطح زمین بر اساس اسپلاین طبیعی درجه سوم هموار

جلیل رشیدی نیا<sup>i</sup>، لیلا محمد نیا<sup>ii</sup>

## چکیده:

یکی از روش‌های درون یابی استفاده از توابع اسپلاین است. در این مقاله، سطح زمین با استفاده از اسپلاین طبیعی درجه سوم هموار درون یابی می‌شود. در آغاز فرمول ریاضی بررسی و سپس از این اسپلاین برای مدل سازی سطح زمین استفاده می‌شود. مدل یاد شده روی داده‌های یک بعدی و دو بعدی مربوط به منطقه‌ای در شهرستان خرم-آباد آزمایش گردید. نتایج حاصل از روش یاد شده روی دو دسته از داده‌ها نشان داد که روش اسپلاین طبیعی درجه سوم هموار، دارای دقت خیلی خوب در برازش منحنی و دقت خوبی در مدل سازی سطوح می‌باشد.

## واژه‌های کلیدی:

اسپلاین درجه سوم هموار طبیعی، توابع توانی تعمیم یافته، مدل سازی، درون یابی .

## *Earth Surface Modelling Using Natural Cubic Spline*

Leyla Mohammadnia, Jalil Rashidinia

### ABSTRACT

There are various mathematical models for modeling of surfaces especially for land surface. One of these models is spline method.

In this paper, natural smoothing cubic spline is used for interpolation of a land surface. we formulate the structure of natural smoothing cubic spline and also the spline interpolation. is used for modelling of land surface. Then by developing the method in one and two dimensions, for a region in Khoram Abad city. The results obtained by the above method show that the spline interpolation is almost accurate.

### KEY WORD:

Natural Smoothing- Cubic Spline-Truncate Power Function-Modelling-Interpolation-

<sup>i</sup> استادیار دانشکده ریاضی، دانشگاه علم و صنعت ایران، Email: rashidinia@iust.ac.ir

<sup>ii</sup> کارشناس ارشد ریاضی کاربردی، دانشگاه علم و صنعت ایران، Email: lmohamadnia@gmail.com

در ادامه مقاله در بخش دوم اسپلاین طبیعی درجه سوم هموار از نظر ریاضی تعریف می‌شود و در بخش سوم، روش روی نقاط مرتفع منطقه ای در خرم آباد پیاده سازی می‌شود و سپس نتایج حاصل مورد ارزیابی قرار می‌گیرند و در بخش چهارم نتایج و پیشنهادات ارائه می‌گردند.

۲- مدل ریاضی اسپلاین طبیعی درجه سوم هموار

تعریف (۱) یک عضو  $s \in S_{2m}(\Delta)$  اسپلاین طبیعی از مرتبه  $2m$  با نقاط دنباله  $\hat{\Delta}$  از نقاط داخلی نامیده می‌شود، اگر  $s|_{I_0}, s|_{I_n} \in P_m(R)$  باشد.

در اینجا  $\hat{\Delta} = \{t_i\}_{i=0}^{n+1}$  یک دنباله ای اکیدا صعودی از گره‌های داده‌ای روی  $I=[a, b]$ ، با  $t_0 = a$  و  $t_{n+1} = b$  است و  $\hat{\Delta} = \{t_i\}_{i=0}^{n+1}$  دنباله نقاط داخلی برای فضای اسپلاین است.

اگر  $\hat{S}_{2m}(\Delta) = \{s \in S_{2m}(\Delta), s|_{I_0}, s|_{I_n} \in P_m(R)\}$  علامت فضای اسپلاین‌های طبیعی از مرتبه  $2m$  باشد. هر  $s \in \hat{S}_{2m}(\Delta)$  نمایش منحصر به فرد رابطه (۲) را دارد.

$$S(t) = \sum_{j=0}^{m-1} b_j t^j + \sum_{i=1}^n B_i \frac{(t-t_i)_+^{2m-1}}{(2m-1)!} \quad (3)$$

که شرایط گشتاوری  $m-1, \dots, k=0$  و  $\sum_{i=1}^n \beta_i (t_i)^k = 0$  را حفظ می‌کند.

برای  $m=2$  هالیدی نشان داد که یک اسپلاین درجه سوم هموار منحصر به فرد وجود دارد، که مساله مینیمم سازی (۲) را حل می‌کند. [۲]

برای بدست آوردن فرمول اسپلاین طبیعی درجه سوم کافی است در فرمول (۳)،  $m=2$  قرار داده شود.

$$S(x) = \sum_{j=0}^1 b_j x^j + \sum_{i=1}^n B_i (x-x_i)_+^3 \quad (4)$$

$$\sum_{i=1}^n \beta_i (t_i)^k = 0, k=0 \text{ و } 1$$

اگر از تعریف توابع توانی تعمیم یافته استفاده و با کمک حاصلضرب تنسوری فرمول (۴) تعمیم داده شود رابطه (۵) به دست می‌آید.

$$S(x, y) = \sum_{j=0}^1 \sum_{i=0}^1 b_{i,j} x^j y^i \quad (5)$$

$$+ \sum_{i=1}^n \sum_{j=1}^n B_{i,j} (x-x_i)^\alpha (y-y_i)^\beta, \alpha + \beta \leq 3$$

که شرایط گشتاوری  $\sum_{i=1}^n \sum_{j=1}^n B_{i,j} (x_i)^\alpha (y_i)^\beta = 0, j = 1, \dots, n, \alpha + \beta = 0, 1$  را حفظ می‌کند.

سطح زمین را می‌توان به صورت یک سطح ریاضی پیوسته در نظر گرفت. برای بازسازی این سطح ابتدا لازم است تعدادی از نقاط سطح را با استفاده از روش‌های جمع آوری داده‌ها مانند روش نقشه برداری استخراج نمود و سپس با استفاده از نقاط استخراج شده و با کمک روش‌های درون یابی، سطح مورد نظر را مدل سازی کرد. روش‌های زیادی برای درون یابی و بازسازی سطوح به کار می‌روند. یکی از روش‌های درون یابی، استفاده از توابع اسپلاین است. خاصیت اصلی این توابع کمینه کردن انحنای عمومی سطح است. نتیجه این روش یک سطح پیوسته هموار است که بسته به نوع اسپلاین به کار رفته از خود نقاط نمونه برداری می‌گذرد و یا از بین آنها عبور می‌کند [۱].

اسپلاین طبیعی درجه سوم هموار بر پایه توابع چند جمله‌ای ساخته می‌شود. خانواده چند جمله ای هارا می‌توان به عنوان یک خانواده از توابع تقریبی در نظر گرفت. چند جمله‌ایهای قطعه‌ای که پیوستگی در نقاط اتصال را حفظ می‌کنند، اسپلاین‌های چند جمله‌ای نامیده می‌شوند. چند جمله‌ای‌ها مزیت زیادی مانند تراکم و محاسبه آسان دارند [۲].

اگر هدف، کاهش محاسبات و در عین حال به دست آوردن یک تقریب خوب و هموار باشد، اسپلاین طبیعی درجه سوم هموار با بیشترین جذابیت و انتخاب ظاهر می‌شود.

اسپلاین طبیعی دارای کمترین انرژی پیچشی در نقاط کنترل است. انرژی به صورت انتگرال رابطه (۱) روی فضای  $\mathcal{R}^2$  تعریف می‌شود.

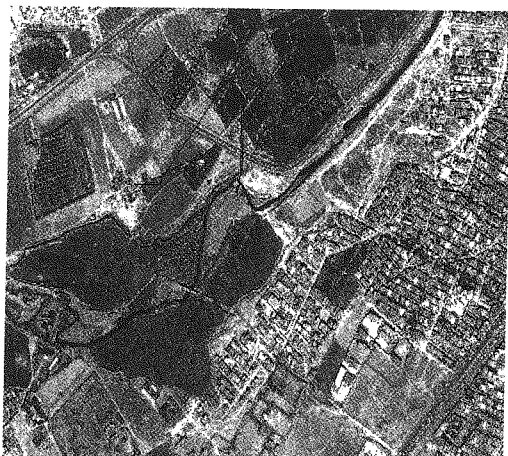
$$I[f(x, y)] = \iint_{\mathcal{R}^2} f_{xx}^2 + 2f_{xy}^2 + f_{yy}^2 \quad (1)$$

در معادله (۱)،  $f$  معرف ارتفاع در مدل سه بعدی است. اگر معادله (۱) کمینه گردد، پیچش سطح در نقاط کنترل و تغییرات شیب در صفحات مماس به حداقل خود می‌رسند.

از طرف دیگر سطح اسپلاین به عنوان یک تقریب از سطح واقعی داده‌ها می‌بایست از نزدیکی نقاط کنترل عبور کند. در این حالت سطح  $f(x, y)$  طوری تعیین می‌شود که فاصله ی آن با نقاط کنترل کمینه می‌شود به عبارتی رابطه (۲) مینیمم می‌شود.

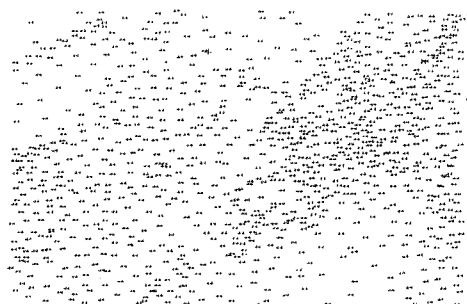
$$E_{TPS} = \sum_{i=1}^n \mu_i (f(x_i, y_i) - z_i)^2 \quad (2)$$

پس اسپلاین یک جواب از مساله مینیمم سازی رابطه (۲) است.



شکل (۱): تصویر منطقه مورد مطالعه

در شکل (۲) کلیه نقاط ارتفاعی استخراج شده از تصویر منطقه آزمون نشان داده شده است.



شکل (۲): نقاط ارتفاعی منطقه

همان طور که در شکل (۲) دیده می‌شود، پراکندگی نقاط مناسب می‌باشند. مساله پیش رو این است که باید براساس نقاط فوق که تصادفی انتخاب شده‌اند، سطح به روش یاد شده برآزش گردد. برای این منظور ابتدا آنالیز در حالت یک بعدی و سپس آنالیز دو بعدی انجام می‌شود.

### ۳-۱- پیاده سازی روش اسپلاین طبیعی درجه سوم

#### هموار در فضای یک بعدی

در این قسمت ناحیه‌ای از منطقه مورد آزمون انتخاب گردید. این ناحیه شامل ۱۰۰ نقطه ارتفاعی می‌باشد که ۷۵ نقطه به عنوان نقطه کنترل (نقاط کنترل نقاطی هستند که در محاسبات درون یابی شرکت دارند) و ۲۵ نقطه به عنوان نقاط آزمایش (نقاط آزمایش نقاطی هستند که در محاسبات درون یابی شرکت ندارند) انتخاب گردید.

در شکل (۳) پراکندگی نقاط کنترل نشان داده شده است.

اگر

$$C_{ji} = \frac{\left[ \begin{array}{l} (x_j - x_i)^3 + (y_j - y_i)^3 + (x_j - x_i)^2 (y_j - y_i) + (x_j - x_i) (y_j - y_i)^2 \\ + (x_i - x_j)^2 + (y_i - y_j)^2 + (x_i - x_j) (y - y_j) + (x_i - x_j) + (y_i - y_j) + 1 \end{array} \right]}{\text{آنگاه}}$$

$$Z_j = S(x_j, y_j) = b_0 + b_1 x_j + b_2 y_j + \sum_{i=1}^n B_i C_{j,i}$$

که شرایط گشتاوری رابطه (۶) را حفظ می‌کند.

$$\sum_{j=1}^n B_i = 0, \sum_{j=1}^n B_i x_i = 0, \sum_{j=1}^n B_i y_i = 0, j = 1, \dots, n \quad (۶)$$

سیستم معادلات بالا یک سیستم خطی  $(3+n) \times (3+n)$  است. دستگاه معادلات حاصل به صورت زیر می‌باشد.

$$\begin{pmatrix} 0 & c_{21} & \dots & c_{n1} & 1 & x_1 & y_1 \\ c_{12} & 0 & \dots & c_{n2} & 1 & x_2 & y_2 \\ \vdots & \vdots & \ddots & \vdots & \vdots & \vdots & \vdots \\ c_{1n} & c_{2n} & \dots & 0 & 1 & x_n & y_n \\ 1 & 1 & \dots & 1 & 0 & 0 & 0 \\ x_1 & x_2 & \dots & x_n & 0 & 0 & 0 \\ y_1 & y_2 & \dots & y_n & 0 & 0 & 0 \end{pmatrix} \begin{pmatrix} B_1 \\ B_2 \\ \vdots \\ B_n \\ b_0 \\ b_1 \\ b_2 \end{pmatrix} = \begin{pmatrix} z_1 \\ z_2 \\ \vdots \\ z_n \\ 0 \\ 0 \\ 0 \end{pmatrix}; \quad (۷)$$

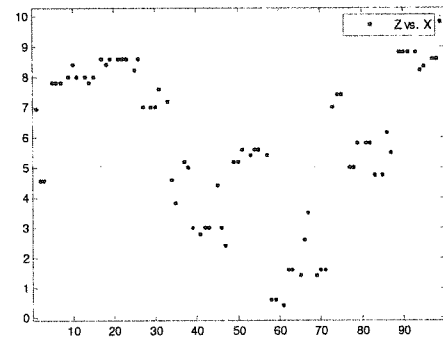
با تشکیل این سیستم به ازای نقاط معلوم اندازه گیری شده و حل به روش QR، کلیه ضرایب  $B_1, \dots, B_n, b_0, b_1, b_2$  یافت می‌شود و معادله سطح مشخص می‌شود.

### ۳- پیاده سازی و ارزیابی نتایج

روش توضیح داده شده در بخش قبل پیاده سازی و مورد ارزیابی قرار داده می‌شود. منطقه مورد مطالعه قسمتی از حومه شهر خرم آباد انتخاب گردید. کلیه مراحل با کمک برنامه MATLAB روی ناحیه پیاده سازی شد.

ابتدا پیاده سازی روی داده‌های یک بعدی انجام و کلیه نتایج حاصل مورد بررسی و ارزیابی قرار می‌گیرد. سپس پیاده سازی و ارزیابی روی داده‌های دو بعدی ناحیه مورد مطالعه صورت می‌گیرد. کلیه بررسی‌ها روی شبکه منظم از نقاط انجام می‌شود. داده‌های فوق از روی عکس برداری هوایی با کمک روش نقشه برداری هوایی استخراج گردیده‌اند. تصاویر عکس برداری در مقیاس ۱:۱۰۰۰۰ تهیه شده‌اند. در شکل (۱) تصویر منطقه مورد آزمون نشان داده شده است.

۳۱	۷,۶۰۱	-۸	۱۵,۶۰۱
۳۳	۷,۲۰۱	-۲۸	۳۵,۲۰۱
۳۴	۴,۶۰۱	-۴۴	۷۸,۶۰۱
۳۵	۳,۸	۴	-۰,۲
۳۷	۵,۲۰۱	-۲۴	۲۹,۲۰۱
۳۸	۵	-۸	۱۳
۳۹	۳	-۵۶	۵۹
۴۱	۲,۸	-۶۰	۶۲,۸
۴۲	۳	-۳۲	۳۵
۴۳	۳	-۶۴	۶۷
۴۵	۴,۴۰۱	-۶۰	۶۴,۴۰۱
۴۶	۳	-۷۶	۷۹
۴۷	۲,۴۰۱	-۶۴	۶۶,۴۰۱
۴۹	۵,۲۰۱	-۵۲	۵۷,۲۰۱
۵۰	۵,۲۰۱	-۹۶	۱۰۱,۲
۵۱	۵,۶۰۱	-۶۰	۶۵,۶۰۱
۵۳	۵,۴۰۱	-۸۸	۹۳,۴۰۱
۵۴	۵,۶۰۱	-۹۶	۱۰۱,۶
۵۵	۵,۶۰۱	-۸۴	۸۹,۶۰۱
۵۷	۵,۴۰۱	-۴۸	۵۲,۴۰۱
۵۸	۰,۶۰۱	-۸۴	۸۴,۶۰۱
۵۹	۰,۶۰۱	-۷۲	۷۲,۶۰۱
۶۱	۰,۴۰۱	-۷۶	۷۶,۴۰۱
۶۲	۱,۶۰۱	-۴۸	۴۹,۶۰۱
۶۳	۱,۶۰۱	-۷۲	۷۳,۶۰۱
۶۵	۱,۴۰۱	-۸۸	۸۹,۴۰۱
۶۶	۲,۶۰۱	-۸۸	۹۰,۶۰۱
۶۷	۳,۵	-۱۱۲	۱۱۵,۵
۶۹	۱,۴۰۱	-۶۸	۶۹,۴۰۱
۷۰	۱,۶۰۱	-۱۳۲	۱۳۳,۶
۷۱	۱,۶۰۱	-۱۰۴	۱۰۵,۶
۷۳	۷	-۴۴	۵۱
۷۴	۷,۴۰۱	-۱۵۶	۱۶۳,۴
۷۵	۷,۴۰۱	-۵۶	۶۳,۴۰۱
۷۷	۵	-۸	۱۳
۷۸	۵	-۶۰	۶۵
۷۹	۵,۸	۸۸	-۸۲,۲
۸۱	۵,۸	-۸۸	۹۳,۸
۸۲	۵,۸	-۶۸	۷۳,۸
۸۳	۴,۷۵	۴۰	-۳۵,۲۵
۸۵	۴,۷۵	۶۴	-۵۹,۲۵
۸۶	۴,۱۵۱	-۵۶	۶۲,۱۵۱
۸۷	۵,۵	۷۶	-۷۰,۵
۸۹	۸,۸	-۸۸	۹۶,۸
۹۰	۸,۸	۱۶	-۷,۲
۹۱	۸,۸	۱۱۲	-۱۰۳,۲
۹۳	۸,۸	۲۸۸	-۲۷۹,۲
۹۴	۸,۲۲	۷۶	-۶۷,۷۸
۹۵	۸,۳۴۱	۱۷۶	-۱۶۷,۶۶
۹۷	۸,۵۸۱	۲۰۸	-۱۹۹,۴۲
۹۸	۸,۵۸۱	-۵۶	۶۴,۵۸۱
۹۹	۹,۸۲	۱۳۲	-۱۲۲,۱۸



شکل (۳): نقاط کنترل روی پروفیل انتخاب شده

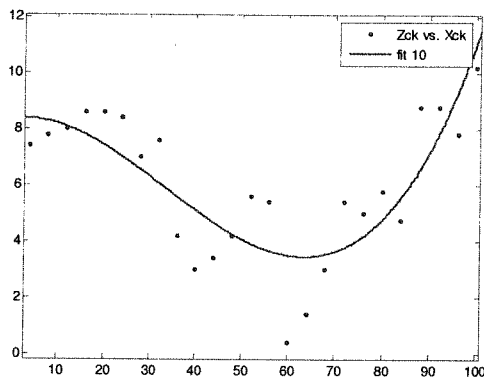
با پیاده‌سازی روش اسپالین‌های طبیعی روی داده‌های انتخابی (نقاط کنترل)، ارتفاع محاسبه شده ( $Z_c$ ) بر اساس روش یاد شده مطابق جدول (۱) محاسبه گردید. که پس از محاسبه باقیمانده‌ها ( $dZ$ ) مقدار خطای جذر مربع باقیمانده‌ها (RMSE) از رابطه ۸ محاسبه گردید.

$$RMSE = \frac{\sum_{i=1}^n \sqrt{(Z_i - Z_{c_i})^2}}{n-1} \quad (۸)$$

و مقدار RMSE برابر ۹,۸۳۶۸ بدست آمد.

جدول (۱): مختصات نقاط کنترل برای روش اسپالین‌های طبیعی

X	Z	$Z_c$	$dZ$	RMS
۱	۶,۹۳	۲۰	-۱۳,۰۷	۹,۸۳۶۸
۲	۴,۵۵	۸۰	-۷۵,۴۵	
۳	۴,۵۵	۸۰	-۷۵,۴۵	
۵	۷,۸	۲۰,۸	-۲۰,۰۲	
۶	۷,۸	۷۶	-۶۸,۲	
۷	۷,۸	-۴	۱۱,۸	
۹	۸	۱۳۶	-۱۲۸	
۱۰	۸,۴۰۱	-۲۴	۳۲,۴۰۱	
۱۱	۸	-۱۰,۴	۱۱۲	
۱۳	۸	۶۸	-۶۰	
۱۴	۷,۸	۶۸	-۶۰,۲	
۱۵	۸	۱۲	-۴	
۱۷	۸,۶۰۱	۰	۸,۶۰۱	
۱۸	۸,۴۰۱	-۴۰	۴۸,۴۰۱	
۱۹	۸,۶۰۱	۱۰,۸	۹۹,۳۹۹	
۲۱	۸,۶۰۱	-۴	۱۲,۶۰۱	
۲۲	۸,۶۰۱	-۳۲	۴۰,۶۰۱	
۲۳	۸,۶۰۱	۸	۰,۶۰۱	
۲۵	۸,۲۰۱	۶۴	-۵۵,۷۹۹	
۲۶	۸,۶۰۱	۲۰	-۱۱,۳۹۹	
۲۷	۷	۲۰	-۱۳	
۲۹	۷	-۲۴	۳۱	
۳۰	۷	-۸	۱۵	



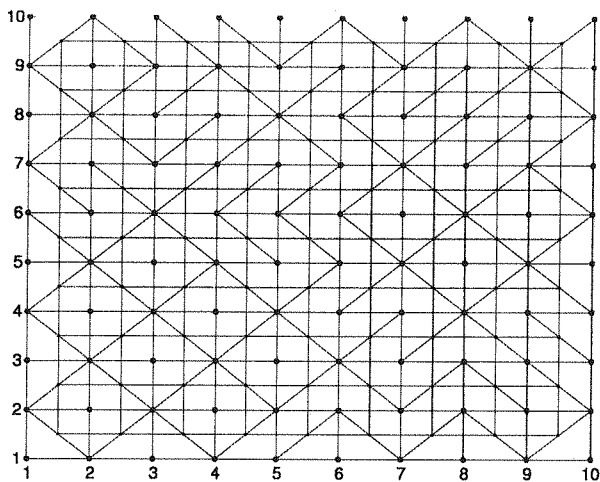
شکل (۴): ناحیه باز سازی شده برای نقاط آزمایش به ازای ارتفاع حاصل از روش اسپلاین‌های طبیعی در جدول (۳) خلاصه نتایج یاد شده آمده است.

جدول (۳): خلاصه نتایج در حالت یک بعدی

تعداد نقاط کنترل	RMSE نقاط کنترل	تعداد نقاط آزمایش	RMSE نقاط آزمایش
۷۵	۹.۸۴۶۸	۲۵	۱.۵۲۲

### ۲-۳- پیاده سازی روش اسپلاین طبیعی درجه سوم هموار در فضای دو بعدی

برای آنالیز دو بعدی یک شبکه منظم  $10 \times 10$  از نقاط انتخاب گردید و بررسی روی آن انجام شد. در شکل (۵) شبکه نشان داده شده است.



شکل (۵): شبکه  $10 \times 10$  منظم از نقاط

دوباره، همه آنالیزها روی این شبکه صورت گرفت. نتایج حاصل در جدول (۴) آمده است.

همین آنالیز نیز برای ۲۵ نقطه آزمایش انجام شد که نتایج حاصل در جدول (۲) آمده است. در این جدول مختصات این نقاط (ستونهای ۱ و ۲) و نتایج حاصل در ستونهای بعدی نشان داده شده است. مطابق جدول (۲) مقدار RMSE برابر ۱.۵۲۲ است.

جدول (۲): مختصات نقاط آزمایش و نتایج حاصل از روش اسپلاین‌های طبیعی

Xck	Zck	dZ	RMS
۴	۷.۴۰۱	-۰.۰۰۷۹۹	۱.۵۲۲
۸	۷.۸	-۰.۰۳۷۲	
۱۲	۸	۰.۰۶۲۱۱	
۱۶	۸.۶۰۱	-۰.۰۸۲۷۲	
۲۰	۸.۶۰۱	-۰.۰۹۹۰۵	
۲۴	۸.۴۰۱	-۰.۱۱۰۸	
۲۸	۷	-۰.۱۱۸۸۲	
۳۲	۷.۶۰۱	-۰.۱۲۲۲۶	
۳۶	۴.۲۰۱	-۰.۱۲۱۴۱	
۴۰	۳	-۰.۰۱۱۶۲۶	
۴۴	۳.۴۰۱	-۰.۰۱۰۶۸۲	
۴۸	۴.۲۰۱	-۰.۰۰۹۳۰۸	
۵۲	۵.۶۰۱	-۰.۰۰۷۵۰۵	
۵۶	۵.۴۰۱	-۰.۰۰۵۲۷۲	
۶۰	۰.۴۰۱	-۰.۰۰۲۶۱۱	
۶۴	۱.۴۰۱	۰.۰۰۴۸۰۴	
۶۸	۳	۰.۰۰۴۰۰۱۲	
۷۲	۵.۴۰۱	۰.۰۰۷۹۵۱۵	
۷۶	۵	۰.۱۲۳۳۱	
۸۰	۵.۸	۰.۱۷۱۴	
۸۴	۴.۷۵	۰.۲۲۳۷۹	
۸۸	۸.۸	۰.۲۸۰۴۷	
۹۲	۸.۸	۰.۳۴۱۴۴	
۹۶	۷.۸۲	۰.۴۰۶۷۱	
۱۰۰	۱۰.۲۱۳	۰.۴۷۶۲۷	

در شکل (۴) منحنی عبور داده شده از نقاط آزمایش نشان داده شده است.

5	5	62	60.607	1.2922
5	6	64	62.892	1.1069
5	7	69	63.646	0.2544
5	8	56	60.112	-4.1202
5	9	69	72.22	-4.2298
5	10	62	14.399	47.601
6	1	55	71.719	-16.719
6	2	70	59.559	10.441
6	3	52	55.822	-2.8218
6	4	55	62.722	-7.7222
6	5	66	57.421	8.579
6	6	52	62.77	-9.7699
6	7	67	59.707	7.2927
6	8	57	54.91	2.09
6	9	65	62.791	1.209
6	10	58	46.554	11.446
7	1	58	64.02	-6.0202
7	2	65	61.22	2.67
7	3	58	66.452	-8.4522
7	4	66	58.824	7.1756
7	5	52	54.827	-1.8272
7	6	62	61.064	1.9261
7	7	62	60.074	2.9264
7	8	52	57.244	-4.2444
7	9	56	52.914	2.082
7	10	64	85.024	-21.024
8	1	65	56.228	8.6721
8	2	61	61.524	-0.52412
8	3	65	69.712	-4.7125
8	4	67	61.076	5.9244
8	5	54	59.459	-5.4592
8	6	58	55.704	2.2961
8	7	55	60.798	-5.7981
8	8	69	68.2	0.8012
8	9	54	50.497	2.5026
8	10	59	81.062	-22.062
9	1	52	48.699	4.2012
9	2	54	61.012	-7.0118
9	3	67	69.299	-2.2985
9	4	69	59.162	9.8268
9	5	57	65.475	-8.4745
9	6	69	62.822	5.1777
9	7	51	57.22	-6.2198
9	8	68	69.552	-1.5525
9	9	64	62.625	0.27475
9	10	52	46.45	6.5502
10	1	59	72.586	-15.586

جدول (۴): نتایج حاصل از روش اسپلاین‌های طبیعی روی شبکه  
منظم ۱۰×۱۰

X	Y	Z	Zc	dZ	RMS
1	1	50	50.827	-0.8269	100.28
1	2	60	66.007	-6.0007	
1.98	2	60	58.016	1.9826	
-2.4	2	54	56.4	-2.4002	
1	5	62	69.114	-6.114	
1	6	66	60.551	5.4492	
1	7	59	62.228	-3.2281	
1	8	59	59.982	-0.9822	
1	9	62	48.546	14.454	
1	10	66	88.678	-22.678	
2	1	52	50.189	2.8106	
2	2	57	65.102	-8.1017	
2	3	70	62.214	6.6862	
2	4	52	56.577	-4.5768	
2	5	64	61.116	2.8826	
2	6	62	61.019	1.9808	
2	7	59	54.295	4.5049	
2	8	60	56.229	2.761	
2	9	55	66.169	-11.169	
2	10	57	27.808	19.192	
3	1	54	56.296	-2.296	
3	2	56	54.221	1.7691	
3	3	64	65.061	-10.0606	
3	4	62	62.414	0.5857	
3	5	57	66.196	-9.1959	
3	6	64	62.992	0.07645	
3	7	57	52.862	4.1266	
3	8	50	59.761	-9.7605	
3	9	66	59.762	6.2257	
3	10	64	85.462	-21.462	
4	1	56	48.204	7.6956	
4	2	52	56.678	-2.6782	
4	3	55	60.21	-5.0212	
4	4	68	56.144	11.856	
4	5	60	69.651	-9.6512	
4	6	79	68.192	10.806	
4	7	52	59.862	-7.8629	
4	8	66	61.818	4.1821	
4	9	52	59.706	-6.7056	
4	10	68	81.627	-12.627	
5	1	57	57.908	-0.9084	
5	2	52	62.19	-11.19	
5	3	66	50.921	15.079	
5	4	46	56.592	-10.592	

#### ع- نتیجه گیری و پیشنهادات

در این مقاله از داده‌های ارتفاعی منطقه‌ای واقع در شهر خرم‌آباد استفاده شد که خلاصه نتایج حاصل عبارتند از:

۱. روش اسپلاین طبیعی برای بازسازی منحنی دارای دقت خوبی است.

۲. روش اسپلاین طبیعی برای بازسازی سطوح واز آن جمله سطح زمین مناسب است.

پیشنهاد می‌شود مطالعاتی بر روی دیگر روش‌های حل معادله اسپلاین طبیعی درجه سوم هموار،مانند روش‌های تکراری مطرح شده توسط فرانک ، صورت گیرد [۴]. زیرا این روش در مناطق چگال و غیر چگال با میزان خطایی مشابه پاسخ گو است. تغییر در مختصات، حذف و یا جابجایی یک نقطه در روش حل یادشده در این مقاله منجر به تکرار محاسبات می‌گردد زیرا یک نقطه در تمامی نقاط دیگر تأثیر گذار است. بنابراین تحقیق بر روی روشی که ویرایش نقاط سبب انجام محاسبات کمتر گردد، بسیار مفید خواهد بود.

#### ۵-مراجع

[۱] Schoenberg , I.J , Contributions to the Problem of Approximation of Equidistant Data by Analytic Functions , Part A; On the Problem of Smoothing of Graduation , A First Class of Analytic Approximation Formulae , Quart. Appl. Math. 4 . (1946a) , pp 45-99.

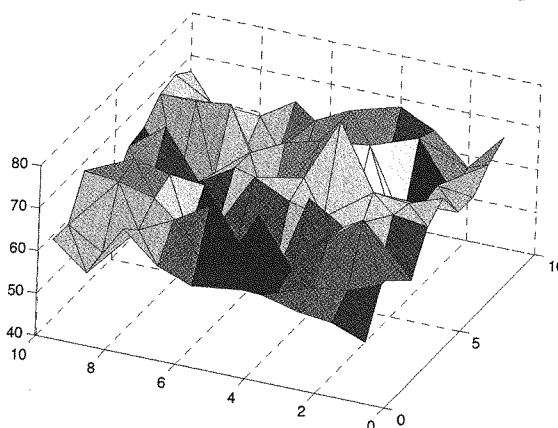
[۲] Hrushikesh N.Mhaskar and Devidas V.Pai , Fundamentals of Approximation Theory , Alph Science International Ltd (2000) , pp 231-244.

[۳] Schoenberg , I.J , Spline Interpolation and Best Quadrature Formulae , Bull. Amer. Math. Soc. 70 , (1946a) , pp143-148

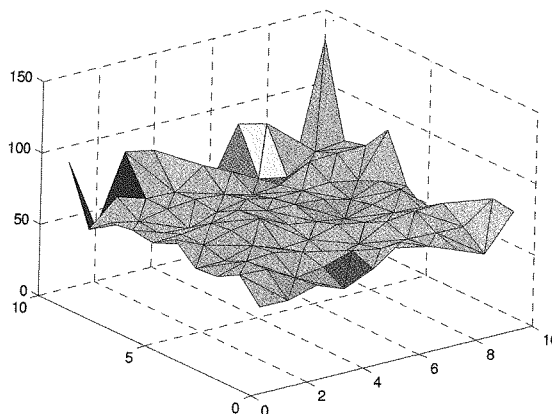
[۴] Cheorghie Micula and Sanda Micula , Handbook of Splines. Kluwer Academic Publishers (1999) , pp82-86.

۱۰	۲	۵۹	۷۵.۲۹۹	-۱۶.۲۹۹
۱۰	۳	۶۸	۵۱.۲۱۴	۱۶.۷۸۶
۱۰	۴	۵۷	۴۶.۲۸۱	۱۰.۷۱۹
۱۰	۵	۵۶	۴۳.۰۳۲	۱۲.۹۶۸
۱۰	۶	۶۳	۵۵.۶۷۴	۷.۳۲۵۷
۱۰	۷	۶۴	۸۷.۶۹۸	-۲۳.۶۹۸
۱۰	۸	۶۸	۶۹.۵۱۳	-۱۵.۱۳۵
۱۰	۹	۶۹	۶۵.۷۲۳	۳.۲۷۷۲
۱۰	۱۰	۶۶	۱۲۹.۳۸	-۶۲.۳۸۲

در شکل (۶) سطح واقعی و در شکل (۷) سطح بازسازی شده با روش اسپلاین های طبیعی برای شبکه منظم  $10 \times 10$  نشان داده شده است.



شکل (۶): سطح واقعی شبکه  $10 \times 10$



شکل (۷): سطح بازسازی شده شبکه  $10 \times 10$  با روش اسپلاین طبیعی

در جدول (۵) خلاصه نتایج در حالت دو بعدی روی شبکه مورد آزمون آمده است.

جدول (۵): خلاصه نتایج در حالت دو بعدی

روش	تعداد نقاط کنترل	RMSE نقاط کنترل
روش اسپلاین‌های طبیعی	۱۰۰	۱۰۰.۲۸